

مطالعه پخش مواد فعال در سطح Arkopal 15 بر روی سطح آب و Tween 80 ، CTAB ، SDS

حمید مدرس

استادیار دانشکده مهندسی شیمی - دانشگاه صنعتی امیرکبیر

اسماعیل جمشیدی

استاد دانشکده مهندسی شیمی - دانشگاه صنعتی امیرکبیر

شکوفه حکیم

دانشجوی دوره دکتری مهندسی شیمی - دانشگاه صنعتی امیرکبیر

(تاریخ دریافت ۷۶/۶/۷ تاریخ تصویب ۱۱/۲/۷۸)

چکیده

رفتار مواد فعال در سطح یونی SDS و غیر یونی Tween 80 ، CTAB و Arkopal 15 بر روی سطح آب با ضخامت زیاد به صورت تئوری و تجربی مطالعه شده است. تئوری و آزمیش نشان می دهد که مسافت طی شده توسط لبه فیلم پخش شونده به کشش سطحی ماده فعال در سطح و مایع زیرین ، همچنین ویسکوزیته و دانسیته مایع زیرین بستگی دارد. بررسی مسافت طی شده به وسیله مواد مختلف فعال در سطح بر روی سطح آب موافقت خوبی را بین نتایج تجربی و مدل تئوری نشان می دهد.

کلید واژه ها : پخش، ماده فعال در سطح ، آب، مدلسازی ریاضی

مقدمه

$$Z=0 \quad (\text{در سطح})$$

$$\frac{\partial \gamma}{\partial X} = -\mu \frac{\partial U}{\partial Z} \quad (1)$$

٪ کشش سطحی و μ ویسکوزیته آب می باشد. Fay [۱۱] و Hoult [۶] به روش آنالیز ابعادی نشان دادند که حرکت لبه فیلم پخش شونده حاصل از لایه های نازک روغن بر روی سطح یک مایع غیر قابل امتزاج با آن مثل آب دریا با عمق زیاد از معادله کلی زیر پیروی می کند:

$$l = k \frac{S^{\frac{1}{2}}}{(\mu \rho)^{\frac{1}{4}}} t^{\frac{3}{4}} \quad (2)$$

S ضریب پخش می باشد و به صورت زیر تعریف می شود:

$$S = \gamma_0 - \gamma_{01} - \gamma_1$$

پژوهش‌های اولیه [۱۰ - ۱] نشان داد که مولکولهای ماده فعال در سطح دارای یک سر آب دوست می باشند که می تواند به مولکول آب متصل شود و سر دیگر مولکول از یک زنجیر هیدروکربنی آب گریز تشکیل شده که باعث می شود ماده فعال در سطح بر روی سطح آب باقی بماند. هنگامیکه یک قطره از ماده فعال در سطح بر روی سطح تمیز آب قرار می گیرد یک لنز تشکیل می دهد ولی به تدریج مایع به صورت یک لایه نازک از کناره های لنز بر روی سطح آب پخش می شود. این لایه نازک را تک لایه می گویند.

انتقال جرم از مایع به تک لایه سریع بوده و مرحله تعیین کننده سرعت، انتقال ماده از طریق جابجایی در طول سطح می باشد که به اثر مارانگونی [۱۲] معروف است. مطابق این اثر نیروی محرکه جهت پخش، گرادیان کشش سطحی می باشد که به صورت یک تنفس برآمدی بر روی آب عمل نموده و در نتیجه لایه مرزی تشکیل می شود.

تئوری و تجربی مورد مطالعه قرار گرفته است. لازم به ذکر است که در مواد فعال در سطح یونی، بخش آبیونی مولکول (SDS) و بخش کاتیونی مولکول (CTAB) فعالیت سطحی آنرا تعیین می کند در حالیکه برای مواد فعال در سطح غیر یونی (Tween 80 و 15 Arkopal) زنجیر پلی اکسی اتیلن ($\text{CH}_2\text{CH}_2\text{O}_n$) فعالیت سطحی را تعیین می کند.

آزمایش

در جدول (۱) شرکتهای سازنده مواد فعال در سطح مورد استفاده در این مقاله و خواص فیزیکی آنها ارائه شده است.

از آب به دلیل فراوانی و کشش سطحی بالای آن در مقایسه با مایعات دیگر (دارای کشش سطحی بسیار زیاد) مانند گلیسرول و جیوه، به عنوان مایع زیرین استفاده شد. آزمایشات در یک کانال شیشه ای به ابعاد $2 \times 8 \times 60$ سانتیمتر انجام گردید. آب مورد استفاده دو بار تقطیر شده و ارتفاع آن درون کانال ۱ سانتی متر بود. قبل از هر آزمایش کانال شیشه ای ابتدا با محلول گرم اسید سولفوریک و اسید نیتریک (به نسبت ۱۰ به ۱) و سپس با مقدار کافی آب مقطر شسته می شد. چون حالت فیزیکی مواد فعال در سطح مورد استفاده متفاوت بوده است از یک محلول 0.002 مولار این مواد در آب در آزمایش پخش استفاده گردید. اگر از مواد فعال در سطح جامد در همان حالت جامد استفاده می کردیم به علت متفاوت بودن شکل هندسی ذرات جامد در مقایسه با شکل متقاضی یک قطره مایع، عمل پخش به صورت یکنواخت از لبه های جامد صورت نگرفته و مقایسه خوبی بین این مواد ممکن نمی شد.

از یک دوربین فیلمبرداری ویدیویی ناسیونال شماره ۸ با تعداد ۲۵ فریم در هر ثانیه برای ثبت حرکت یک فویل آلومینیومی (با قطر ۶ میلی متر و ضخامت 0.002 میلی متر) به عنوان نشانه گر حرکت استفاده شد. قطر فویل آلومینیومی کوچکترین اندازه ای است که قابل تشخیص و ثبت توسط دوربین می باشد. دوربین در ارتفاع ۱۱۰ سانتی متری به صورت عمود بر کانال قرار داده شده و برای مشخص کردن حرکت فویل آلومینیومی یک مقیاس مدرج که قابل رویت بوده در زیر کانال قرار داده

۷۰ کشش سطحی مایع زیرین، γ_1 کشش سطحی روغن و γ_{01} کشش بین سطح روغن و مایع زیرین می باشد.

رابطه مشابهی توسط Pintens و Joos [۱۲] برای مسافت طی شده به وسیله لبه فیلم پخش شونده بر روی لایه ضخیم آب بر حسب زمان به دست آمد:

$$I = \left(\frac{4}{3}\right)^{\frac{1}{2}} \frac{\pi_0^{\frac{1}{2}}}{(\mu\rho)^{\frac{1}{4}}} t^{\frac{3}{4}} \quad (3)$$

$$\text{بطوریکه } \pi_0 = \gamma_0 - \gamma_{01}$$

Dagan [۵] پخش دو بعدی ماده فعال در سطح نا محلول را بر روی لایه ضخیم از مایع بررسی نمود. او معادله پیوستگی برای مایع زیرین و فیلم پخش شونده و معادله ممنتوم برای مایع زیرین را حل نمود. مدل نهایی ارائه شده به صورت زیر می باشد:

$$I = 0.95 \frac{(-\delta\Gamma_s)^{\frac{1}{2}}}{(\mu\rho)^{\frac{1}{4}}} t^{\frac{3}{4}} \quad (4)$$

که در آن Γ_s غلظت سطحی ماده فعال در سطح و

$$\text{معادل } \frac{\partial\gamma}{\partial T} \text{ می باشد.}$$

Cox و Foda [۷] یک روش حل عددی بر اساس شبیه سازی برای پخش یک بعدی یک فیلم نازک نامحلول در آب بر روی سطح آب با ضخامت زیاد به دست آورده که در آن از یک معادله حالت برای بیان حالت فیلم استفاده شده بود. تنها تحقیق قابل توجه در مورد پخش مواد سطح فعال محلول در آب بر روی سطح آن توسط Suciu و همکاران [۱۳] انجام شده است. آنها به صورت تجربی میدان سرعت به وجود آمده تحت تأثیر اثر مارانگونی را خارج از محیط پخش شونده به دست آورده و دریافتند که در مورد پخش ایزوپوتانول در آب سرعت اولیه به فشار سطحی بستگی دارد.

در این مقاله رفتار پخش مواد فعال در سطح یونی سدیم دودسیل سولفات (SDS) و ستیل تری متیل آمونیوم برماید (CTAB) و مواد فعال در سطح غیر یونی تویین ۸۰ (Tween 80) و آرکوپال ۱۵ (Arkopal 15) بر روی لایه ضخیمی از آب به صورت

جدول ۱: خواص فیزیکی مواد فعال سطحی.

نام تجاری	نام شیمیایی	SDS	CTAB	Arkopal 15	Tween 80	
سازنده		Sodium dodecyl-Sulfate	Cetyl trimethyl-Ammunium Bromide	Nonyl phenol-Polyglycol ether	Polyoxyethylene(20)-Sorbitan monooleate	
وزن مولکولی (مول/اگرم)		۲۸۸/۳۸	۳۶۴/۴۶	۸۸۱/۱۷	۱۳۰۹/۶۹	
ویسکوزیته (سانتی پوز)		--	--	*۸۵ ± ۱۰	۴۲۵	
HLB		۴۰	(۱)	۱۵	۱۵	
حالت فیزیکی (۲۰ °C)		جامد	جامد	مایع	مایع	
CMC		**۰.۰۰۸۳	زیر ۱۰⁻۳	حدود ۱۰⁻۶	۱۰⁻۶ × ۹/۹۳	
(۲۵ °C)						

*ویسکوزیته، مگاپاسکال (۵ °C)
(۲۰ °C) CMC**

(۱) عدد HLB برای CTAB (Hydrophilic Lipophilic Balance) در دسترس نمی باشد.

جداول (۲) و (۳) گزارش شده اند که بر اساس آنها می توان شکل کلی مدل تغییرات مسافت طی شده (l) را در مقابل زمان (t) به صورت $l = kt^{\frac{3}{4}}$ پیشنهاد نمود. در مدلسازی ریاضی برای نحوه پخش مواد فعال در سطح که در زیر ارائه می گردد نشان داده خواهد شد که به صورت تحلیلی شکل کلی مدل حاصل از نتایج آزمایش با اصول فیزیکی قابل توجیه می باشد.

مدلسازی ریاضی
Dagan [۵] در دو ناحیه عمل پخش را مورد بررسی قرار داده و روش حل خود را ارائه نمود: ۱- ناحیه حول مرکز پخش ماده فعال در سطح ۲- ناحیه نزدیک لبه فیلم.

در روشنی که در این مقاله در نظر گرفته شده است حجم قطره مایع پخش شونده کوچک می باشد، بنابراین

شد. برای شروع آزمایش قطرات کوچکی از محلول ماده فعال در سطح در آب به حجم ۰/۰۳ سانتی متر مکعب از یک میکرو بورت (با حجم کلی ۱ سانتی متر مکعب و دقت ۰/۱ سانتی متر مکعب) در تماس با سطح آب در محل قرار گرفتن فویل قرار گرفت و مسافت طی شده توسط فویل بوسیله دوربین ثبت شد. تمام آزمایشات سه بار و در دمای ۲۰ درجه سانتی گراد (demای اتاق) انجام گردید. کشش‌های سطحی مورد نیاز با روش «بلقه Du Nouy (Fisher Surface Tensiometer)» اندازه گیری شد. لبه فیلم پخش شونده عمود بر جهت حرکت بوده و نشان دهنده ناچیز بودن اثر دیواره های کانال بر روی حرکت و در نتیجه یک بعدی بودن حرکت بر روی سطح می باشد.

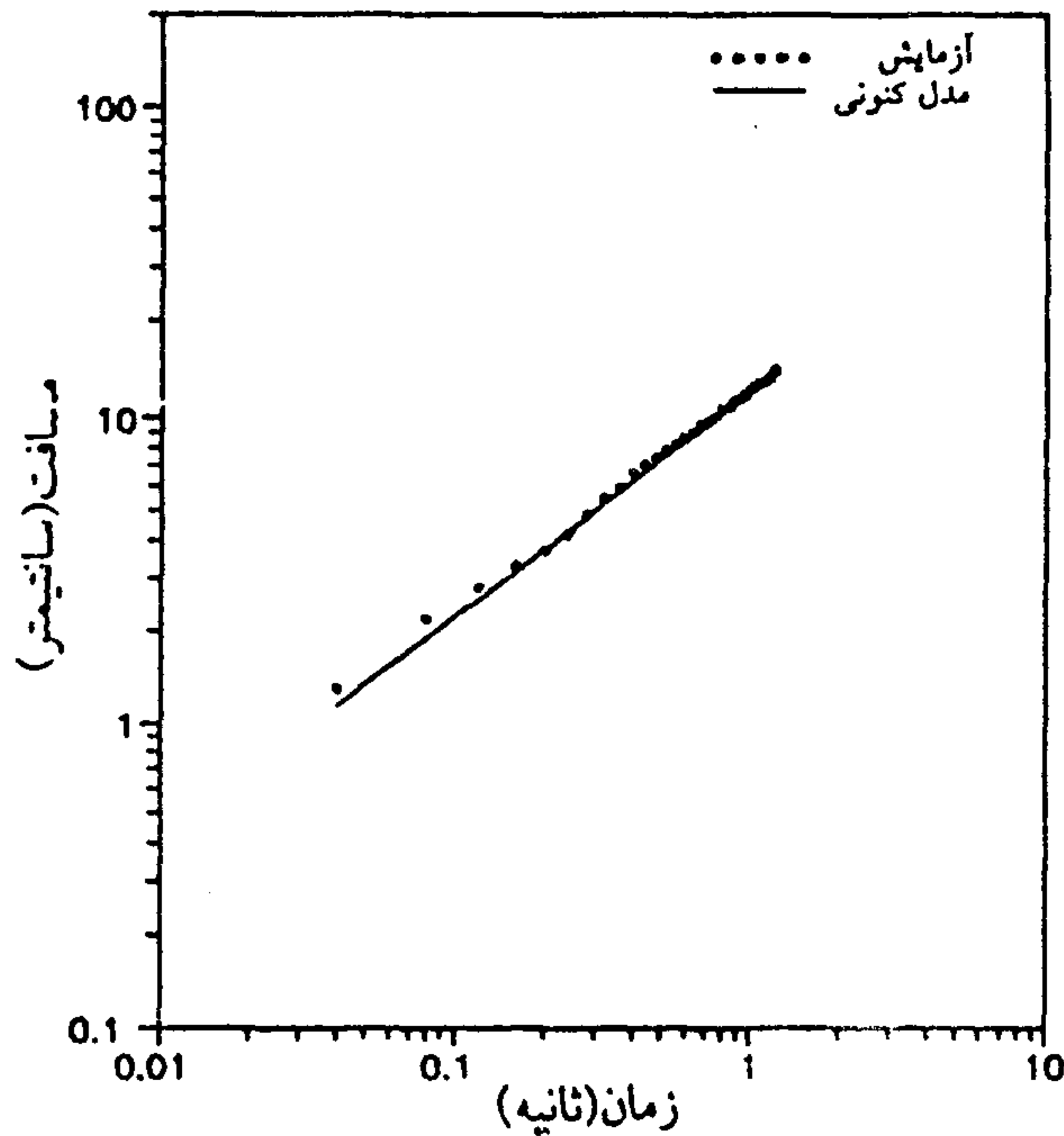
نمودارهای (۱) تا (۴) تغییرات لگاریتمی مسافت طی شده در مقابل زمان را برای چهار ماده فعال در سطح نشان می دهد. عرض از مبدأ و ضریب زاویه این نمودارها در

جدول ۲: مقادیر k و شبیب بدست آمده از مدل Joos و آزمایش و مقایسه انحراف آنها از یکدیگر.

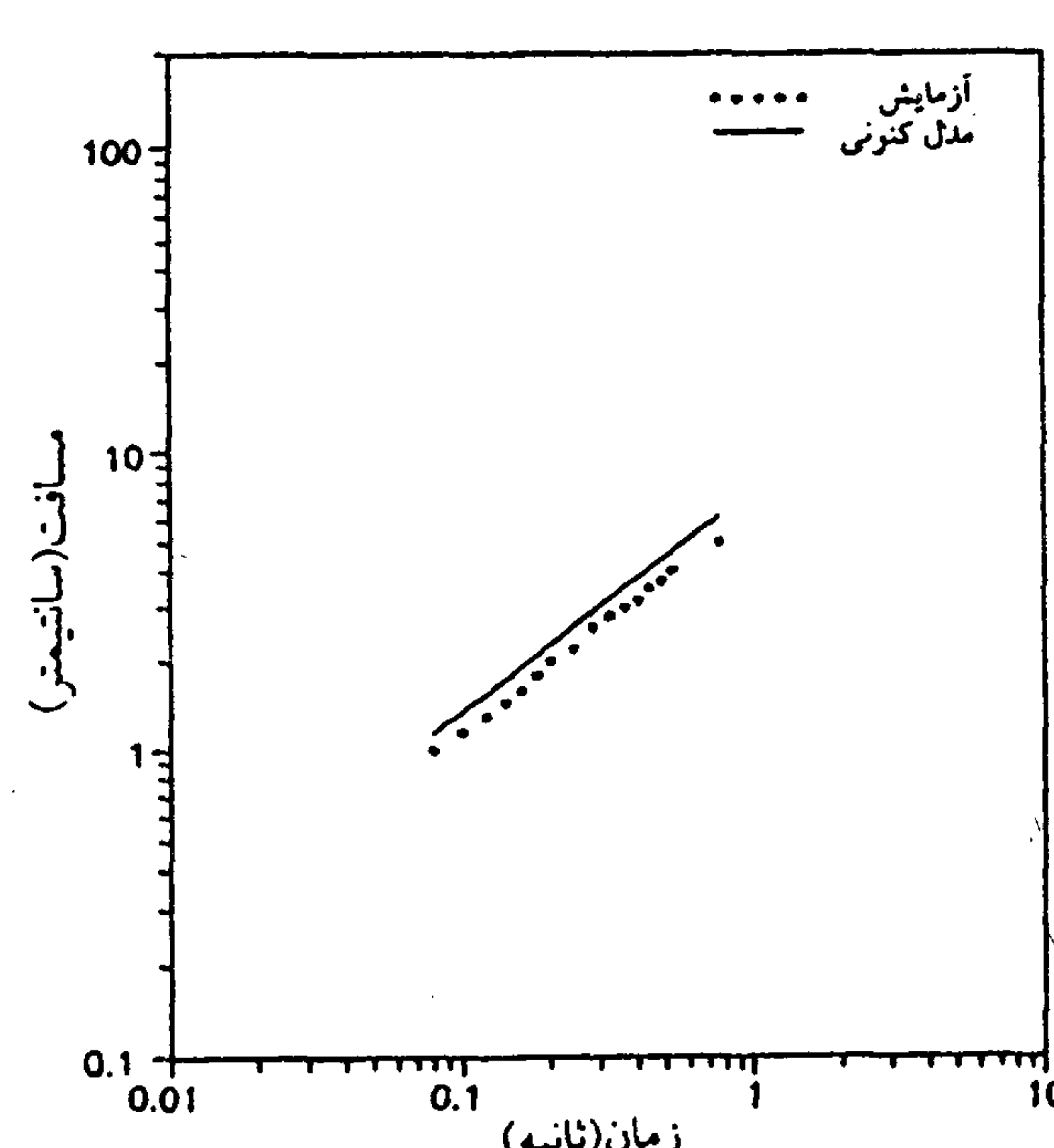
نام ماده فعال سطحی	k مدل Joos	k آزمایش	k مدل کنونی	k آزمایش	شبیب آزمایش	شبیب مدل کنونی	انحراف٪ آزمایش
SDS	۹/۲	۶/۳۸	-۴۴/۲	۰/۷۵	۰/۷۴	۱/۳۳	۱/۳۳
CTAB	۱۵/۵۴	۱۲/۷۹	-۲۱/۵	۰/۷۵	۰/۷	۶/۶۷	۶/۶۷
Tween 80	۱۵/۵۲	۱۱/۷۱	-۳۲/۵۴	۰/۷۵	۰/۷۳	۲/۶۷	۲/۶۷
Arkopal 15	۱۶/۲۳	۱۵	-۸/۲	۰/۷۵	۰/۷۸	۴	۴

جدول ۳: مقادیر k و شبیب بدست آمده از مدل کنونی و آزمایش و مقایسه انحراف آنها از یکدیگر.

نام ماده فعال سطحی	k مدل کنونی	k آزمایش	k مدل کنونی	k آزمایش	شبیب آزمایش	شبیب مدل کنونی	انحراف٪ آزمایش
SDS	۷/۵۷	۶/۳۸	-۱۸/۶۵	۰/۷۵	۰/۷۴	۱/۳۳	۱/۳۳
CTAB	۱۲/۱۹	۱۲/۷۹	-۴/۹۲	۰/۷۵	۰/۷	۶/۶۷	۶/۶۷
Tween 80	۱۲/۷۷	۱۱/۷۱	-۹/۰۵	۰/۷۵	۰/۷۳	۲/۶۷	۲/۶۷
Arkopal 15	۱۳/۳۶	۱۵	۱۰/۹۳	۰/۷۵	۰/۷۸	۴	۴



شکل ۲: منحنی لگاریتمی مسافت طی شده بر حسب زمان برای CTAB.



شکل ۱: منحنی لگاریتمی مسافت طی شده بر حسب زمان برای SDS.

مقاله مورد نظر میباشد از ترم اینرسی نمی توان صرفنظر کرد. با تقریب لایه مرزی در حالت پایا، معادلات پیوستگی و ممتومن به صورت زیر نوشته می شوند.

$$\frac{\partial U}{\partial X} + \frac{\partial V}{\partial Z} = 0 \quad (5)$$

$$U \frac{\partial U}{\partial X} + V \frac{\partial U}{\partial Z} = \nu \frac{\partial^2 U}{\partial Z^2} \quad (6)$$

محور X در جهت حرکت فیلم پخش شونده می باشد و محور Z در جهت عمود بر پخش سطحی است. مایع زیرین را نیوتونی و با دانسیته ثابت در نظر می گیریم. اثر نیروی ثقل و گرادیانهای فشار در مقایسه با رفتار پخش بر روی لایه نازک مایع زیرین که انحنای سطح قابل توجه می باشد و گرادیانهای فشار هیدرولستاتیک وجود دارد قابل چشم پوشی است.

معادله پیوستگی برای ماده فعال در سطح به صورت زیر نوشته می شود.

$$\frac{d(\Gamma U_s)}{dX} = D_s \frac{d^2 \Gamma}{dX^2} \quad (7)$$

غلظت سطحی ماده فعال در سطح، U_s سرعت سیال در سطح و D_s ضریب نفوذ سطحی است. به علت سرعت زیاد فیلم پخش شونده و گسترش آن بر روی سطح از ضریب نفوذ حجمی صرف نظر می شود. شرایط مرزی عبارتند از:

$$X = -l \quad \Gamma = \Gamma_s \quad (8)$$

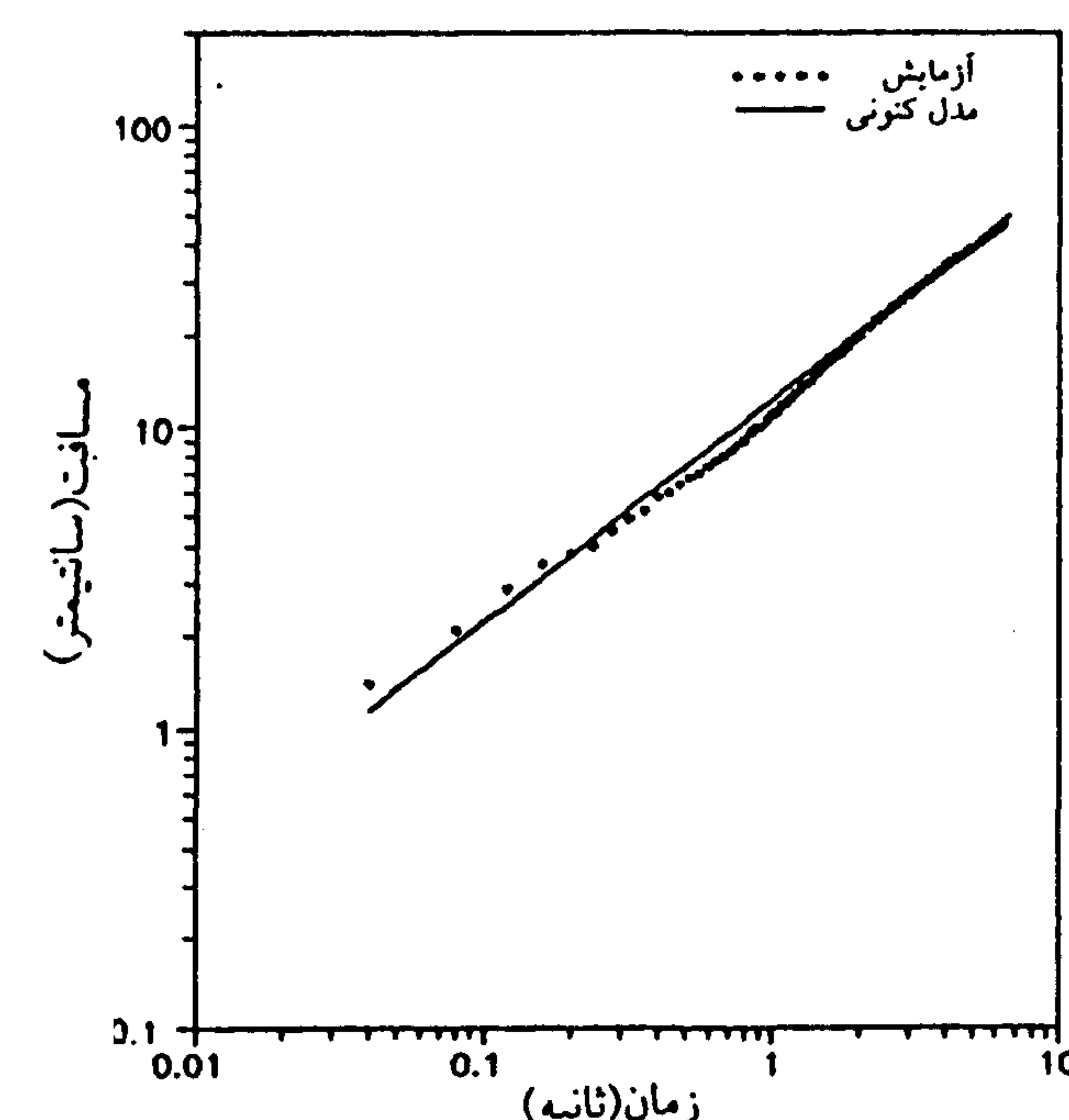
$$X = 0 \quad \Gamma = \Gamma_0 \quad (9)$$

$$Z = 0 \quad U = U_s \quad (10)$$

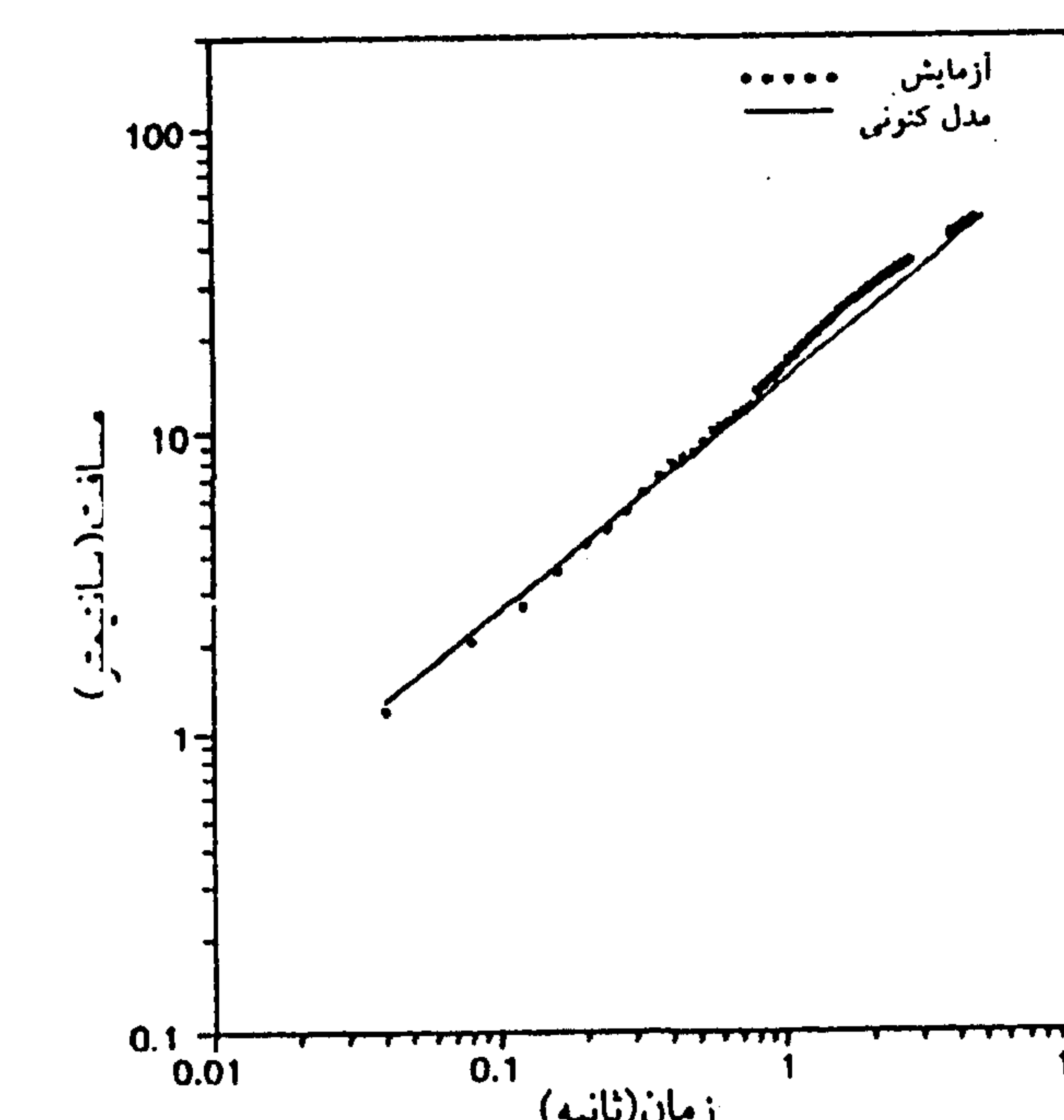
$$\mu \frac{\partial U}{\partial Z} = - \frac{dy}{dX}$$

$$Z \rightarrow \infty \quad U = 0 \quad (11)$$

$$Z = 0 \quad V = 0 \quad (12)$$



شکل ۳: منحنی لگاریتمی مسافت طی شده بر حسب زمان برای Tween 80



شکل ۴: منحنی لگاریتمی مسافت طی شده بر حسب زمان برای Arkopal 15

می توان از طول ناحیه مرکزی که نیروی محرکه τ ثقل و موبینگی می باشد نسبت به کل طول فیلم پخش، شونده ماده فعال در سطح صرف نظر نمود. این فرض ساده کننده از نتایج آزمایشات Cazabat [۸] و Fraaije [۹] حاصل شده است، بنابراین تنها نیروی محرکه برای عمل پخش گرادیان کشش سطحی می باشد و نیروی مقاوم در برابر «حرکت» تنش برشی حاصل از ویسکوزیته مایع زیرین می باشد. در مورد عمل پخش بر روی سطح لایه ضخیمی از مایع زیرین، سرعت و عدد رینولدز $\frac{Ul}{\nu}$ در مقایسه با پخش بر روی لایه نازک مایع زیرین که توسط Gaver [۱۰] مطالعه گردید کوچک نمی باشد. آنها از تئوری روان کنندگی^۱ استفاده نمودند ولی در رفتار پخش که در این

که شرایط مرزی آن به صورت زیر می باشد.

$$\eta = 0 \quad \frac{U_s}{U_0} = f_\eta(\xi, 0) \quad (20\text{-الف})$$

$$\eta = 0 \quad f_{\eta\eta} = 1 \quad f = 0 \quad \xi f_\xi = 0 \quad (20\text{-ب})$$

$$\eta \rightarrow -\infty \quad f_\eta = 0 \quad (20\text{-ج})$$

با مشتق گیری از معادله (۱۸) نسبت به X و جایگزینی U_s با استفاده از شرط مرزی (۲۰-الف) عبارتی برای

$$\frac{d^2\Gamma}{dX^2} \text{ بدست می آید.}$$

$$\frac{d^2\gamma}{dX^2} \frac{1}{\delta} = \frac{d^2\Gamma}{dX^2} = \left[\frac{\delta^2 J \xi^3}{U_0 b^2} \frac{f_{\eta\xi}(\xi, 0)}{f_{\eta}(\xi, 0)} - \frac{\xi^2 D_s \delta}{U_0 b} \frac{f_{\eta\xi}(\xi, 0)}{f_{\eta}^2(\xi, 0)} - \frac{D_s \delta \xi}{U_0 b f_{\eta}(\xi, 0)} \right]^{-1} \quad (21)$$

اکنون میدانهای سرعت U و V را در معادله (۶) قرار داده و این معادله را با دو فرض زیر حل میکنیم:

۱- از نفوذ سطحی به علت بزرگ بودن عدد پکلت

$$\frac{U_0 J}{D_s} \text{ صرف نظر می شود.}$$

۲- معادله برای حالتیکه η به سمت صفر میل می کند (یعنی نزدیک سطح) حل می شود.

چون سرعت حرکت سطحی فیلم پخش شونده مورد نظر ما می باشد، بنابراین فرض دوم برای ساده کردن مسئله مناسب است و منجر به حل زیر می گردد.

$$f_\eta = \frac{\exp(\eta \xi^{1/2} f_{\eta}(\xi, 0))}{\xi^{1/2} f_{\eta}(\xi, 0)} = \frac{U}{U_0} \quad (22)$$

$$\eta = 0 \quad f_{\eta(\xi, 0)} = \xi^{-1/4} = \frac{J}{\Gamma U_0} \quad (23)$$

با استفاده از تعریف ξ در معادله (۱۵)، معادله بقای جرم برای فیلم پخش شونده قابل حل بوده و معادله زیرنتیجه میگردد.

منبع ماده فعال در سطح در $X=-l$ قرار گرفته، جاییکه $\Gamma_s = \Gamma$ می باشد و لبه فیلم پخش شونده در $X=0$ است، جاییکه غلظت سطحی $\Gamma = \Gamma$ می باشد.

در حل مسئله با درنظر گرفتن شرایط مرزی از روش ترکیب متغیرها استفاده میشود و شکل کلی میدان سرعت به صورت زیر ارائه میگردد.

$$\frac{U}{U_0} = f_\eta(\xi, \eta) \quad (13)$$

زیرنویس f نشان دهنده مشتق درجه اول نسبت به متغیر موردنظر میباشد. متغیرهای ξ و η به صورت زیر تعریف می شوند.

$$\eta = aZ \left(-\frac{d\gamma}{dX} \right) \quad (14)$$

$$\xi = -b \left(\frac{d\gamma}{dX} \right)^{-1} \quad (15)$$

به طوریکه:

$$a = \frac{1}{\mu U_0} \quad (16)$$

$$b = \frac{U_0^4 \mu^2}{J v \delta} \quad (17)$$

در معادلات بالا U_0 سرعت در لبه فیلم پخش شونده است. J فلاکس ماده فعال در سطح پخش شونده است که بوسیله معادله ای مشابه قانون اول فیک بیان می گردد.

$$J = \Gamma U_s - D_s \frac{d\Gamma}{dX} \quad (18)$$

$$\delta \text{ به صورت } \delta = \frac{\partial \gamma}{\partial \Gamma} \text{ تعریف می شود به طوریکه} \\ \frac{d\gamma}{dX} = \delta \frac{d\Gamma}{dX}.$$

با جایگزینی معادله (۱۳) در معادله (۱۸) و متغیرهای تعریف شده در شرایط مرزی یک حل تحلیلی برای میدان سرعت V به صورت زیر بدست می آید.

$$V = (\eta f_\eta - f - \xi f_\xi) \frac{U_0}{a} \frac{\xi^2}{b^2} \frac{d^2\gamma}{dX^2} \quad (19)$$

اندازه گیری است و مقایسه مدل را با مدل‌های قبلی و آزمایش امکان پذیر می‌سازد. علاوه بر این نیروی کشش سطحی به عنوان نیروی محركه در نظر گرفته شده است.

بطور کلی سه مکانیزم اصلی در پخش لایه‌های حجیم یک مایع بر روی سطح یک مایع دیگر که با آن غیر قابل امتزاج باشد، وجود دارد [۶]. در ابتدا حجم زیاد مایعی که بر روی سطح قرار دارد سبب می‌شود که نیروهای ثقلی عامل پخش شوند که همزمان تحت تأثیر مقاومت نیروهای اینرسی ناشی از شتاب مایع پخش شونده قرار می‌گیرد. با گذشت زمان مقاومت ویسکوز مایع زیرین جانشین نیروی مقاومت اینرسی می‌شود. پس از گذشت زمان زیاد که لایه پخش شونده نازک می‌شود نیروی کشش سطحی به عنوان نیروی محركه جای نیروی ثقل را می‌گیرد. چون حجم مایع پخش شونده در آزمایشات ما کوچک می‌باشد، از طول ناحیه مرکزی که نیروی محركه آن ثقل می‌باشد نسبت به کل طول فیلم پخش شونده صرف نظر شده است. این فرض از نتایج Fraaije و Cazabat [۸] قابل توجیه است. آنها با انجام آزمایش پخش شعاعی قطرات کوچک پلی‌دی‌متیل سیلکساین بر روی لایه ۴ میلی‌متری از مخلوط آب و گلیسیرین مشاهده کردند که شعاع ناحیه اول بسیار کوچکتر از شعاع ناحیه دوم است. با توجه به زیاد بودن سرعت پخش مواد مورد نظر، از اثر نفوذ سطحی در مقایسه با جابجایی در سطح صرف نظر شده است. همچنانکه از معادلات (۲، ۳، ۴) و (۲۷) مشخص است مدل‌های ارائه شده از شکل کلی $I = kt^{\frac{3}{4}}$ پیروی می‌کند. در جداول (۲) و (۳) انحراف مقادیر بدست آمده از مدل‌های مختلف نسبت به آزمایشات انجام شده درج گردیده است. همانطور که از این جداول مشاهده می‌شود، مقادیر مربوط به مدل Joos و Pintens [۱۲] و مدل کنونی ارائه شده ولی در مدل Fay [۶] و Hoult [۱۱] مقدار k و در مدل Dagan [۵] مقدار $(-\delta\Gamma_s)$ نامعلوم بوده است. بنابراین از این دو در تفسیر نتایج استفاده نگردیده است.

مقادیر بدست آمده از مدل جدید انحراف کمتری را نسبت به آزمایش در مقایسه با نتایج حاصل از مدل Joos و pintens [۱۲] نشان می‌دهد. تنها در مورد Arkopal 15 انحراف اندکی بیشتر شده است. ذکر این نکته حائز اهمیت است که اندازه فویل مورد استفاده به

$$\Gamma = \left[\Gamma_s^5 - \frac{5bJ^4}{U^4\delta} (X + l) \right]^{1/5} \quad (24)$$

با جایگزینی شرط مرزی $\Gamma = \Gamma_s$ در $X = 0$ معادله بالا عبارت زیر برای J حاصل می‌شود.

$$J = \left(\frac{\delta^2}{5\mu pl} \right)^{1/3} \Gamma_s^{5/3} \quad (25)$$

عبارت دیگری را برای J می‌توان به صورت زیر یافت.

$$J = \frac{d}{dt} \int_{-l}^0 \Gamma dX = -\frac{5}{6} \Gamma_s \frac{dl}{dt}$$

با مساوی قرار دادن دو عبارت برای J می‌توان نتیجه گرفت که :

$$l = 0.95 \frac{(-\delta\Gamma_s)^{1/2}}{(\mu\rho)^{1/4}} t^{3/4} \quad (26)$$

برای ساده کردن این نتیجه می‌توانیم فرض کنیم که تغییرات کشش سطحی در طول فیلم پخش شوند، خطی می‌باشد. شواهد تجربی که تأیید کننده این فرض باشد توسط Hansen و Ahmad [۳] در سال ۱۹۷۲ ارائه شد. بنابراین عبارت معادل δ را به صورت مقابل می‌توان نوشت $\frac{\gamma_0 - \gamma_s}{0 - \Gamma_s} = \delta$. در این صورت $-\delta\Gamma_s$ - مساوی $\gamma_s - \gamma_0$ می‌شود که مقداری قابل اندازه گیری است (تفاوت کشش سطحی مایع زیرین خالص و کشش سطحی در ناحیه بسیار نزدیک به محل تزریق ماده فعال در سطح). شکل نهایی مدل ارائه شده به صورت زیر در می‌آید:

$$l = 0.95 \frac{(\gamma_0 - \gamma_s)^{1/2}}{(\mu\rho)^{1/4}} t^{3/4} \quad (27)$$

بحث

مدل نهایی دارای شکل کلی $I = k t^{\frac{3}{4}}$ می‌باشد. این مدل دارای این مزیت است که ترم $(-\delta\Gamma_s)$ با $(\gamma_0 - \gamma_s)$ جایگزین شده است که قابل

نتیجه گیری

چگونگی پخش مواد فعال در سطح محلول در آب SDS، CTAB، Tween 80 و 15 Arkopal با آزمایش مورد بررسی قرار گرفته است. مدلی نیز که توصیف کننده مسافت طی شده بر حسب زمان و یا به صورت دیگر سرعت پخش بر روی لایه ضخیمی از آب می‌باشد ارائه شده است. این مدل بر اساس حل تحلیلی معادلات ممتوом و پیوستگی بدست آمده و به طرز منطقی ساده سازی شده است بطوریکه مطابقت خوبی بین نتایج تجربی و مدل وجود دارد.

با گسترش آزمایشات برای سیستم مواد فعال در سطح محلول در آب که دارای فعالیت سطحی کمتر و نفوذ عمقی و سطحی قابل ملاحظه‌ای می‌باشند، مدل کلی تری توسعه خواهد یافت که در برگیرنده اثرات نفوذ عمقی و سطحی نیز باشد.

با بررسی چگونگی پخش مواد فعال در سطح در سطح تماس آب و نفت که در آن کشش سطحی نفت و مقاومت لایه نفتی نیز مطرح خواهد شد، به مدل‌های پیچیده تری دست خواهیم یافت که در دستور کارآینده قرار گرفته است.

علائم و نشانه‌ها

a : ثابت تعریف شده در معادله (۱۵)

b : ثابت تعریف شده در معادله (۱۶)

D_s : ضریب نفوذ سطحی

f :تابع جریان بدون بعد

J : فلاکس کل ماده فعال سطحی

k : ثابت تناسب

l : طول فیلم

m : ثابت به کار رفته در تئوری موج طولی

S : ضریب پخش $\gamma_1 - \gamma_0$

t : زمان

U : مؤلفه سرعت در جهت X

U_0 : سرعت لبه فیلم پخش شونده

U_S : سرعت سیال در سطح

V : مؤلفه سرعت در جهت Z

X : محور مختصات در جهت حرکت سطحی

Z : محور مختصات عمود بر سطح

عنوان نشانگر کوچکترین اندازه ممکن برای مشاهده بوسیله دوربین بوده که با اندازه های پیشنهادی بوسیله سایر پژوهشگران نیز مطابقت دارد [۱۴ و ۱۳]. ضمناً آزمایشات مقدماتی با اندازه های فویل هایی که تفاوت ناچیزی با یکدیگر داشتند نشان داد که تغییرات کوچک در اندازه فویل اثری محسوس بر سرعت ندارد.

در حل تحلیلی ارائه شده برای پخش مواد فعال در سطح محلول در آب، از ضریب نفوذ عمقی صرف نظر گردیده است. با این حال مدل بدست آمده رفتار پخش این مواد را بر روی آب به خوبی پیش بینی می‌کند. علت این امر در فعالیت سطحی زیاد این مواد نهفته است که باعث می‌شود به سرعت بر روی سطح پخش شوند قبل از آنکه نفوذ قابل ملاحظه‌ای در عمق آب روی دهد. شرایط آزمایش از نظر غلظت طوری انتخاب شده است که سرعت حرکت زیاد بوده و غلظت هم کم بوده است بنابراین انتظار می‌رود که مدل ارائه شده برای شرایط تک لایه پاسخ قابل قبولی را بدهد. با این وجود در غلظت‌های زیاد امکان چند لایه بودن وجود داشته و در کارهای بعدی پژوهش‌های تکمیلی انجام خواهد گرفت.

ضمناً فرض حالت پایدارکه در بدست آوردن این مدل استفاده شده به این صورت قابل توجیه است که، بطور کلی طول فیلم l برای زمانهای کوچک از همان مرتبه مقداری^۱ ضخامت لایه مرزی است [۵]. بنابراین زمان مشخصه برای پخش اولیه با توجه به رابطه ضخامت لایه مرزی $\sim \sqrt{t} \sim \sigma^2$ [۴]، به صورت $\frac{l^2}{v}$ می‌باشد.

با توجه به این نکته صحت معادله (۲۷) برای $t > \frac{l^2}{v}$

برقرار می‌باشد، به عبارت دیگر $t > \frac{v\mu^2}{(\gamma - \gamma_0)^2}$. مقدار

سمت راست در این مسئله و در بسیاری از موارد مشابه بسیار کوچک است.

با بررسی در نتایج بدست آمده مدل پیشنهادی برای سیستم‌های تحت بررسی تطبیق بهتری دارد و برای کارهای مشابه بعدی پخش مواد SDS، CTAB، Tween 80، Tween 15، Arkopal روی سطح گلیسرول پیشنهاد می‌گردد.

μ	ویسکوزیته دینامیک مایع زیرین	علائم یونانی
ν	ویسکوزیته سینماتیک مایع زیرین	γ : کشش سطحی
π	فشار فیلم	γ_s : کشش بین سطحی در ناحیه قطره مرکزی
ρ	دانسیته مایع	γ_c : کشش سطحی مایع زیرین خالص
ζ و η	مختصات جدید تعریف شده در معادلات (۱۴) و (۱۵)	γ_1 : کشش سطحی روغن
$\frac{\partial \gamma}{\partial T}$	ثابت:	γ_{12} : کشش بین سطحی روغن و مایع زیرین
σ	ضخامت لایه مرزی	Γ : غلظت سطحی
		Γ_s : غلظت سطحی در ناحیه قطره مرکزی

مراجع

- 1 - Adam, N. K. (1941). *The physics & chemistry of surfaces*. Axford University Press: London .
- 2 - Adamson, A. W. (1990). *Physical chemistry of surfaces*. Wiley Interscience Publishers: New York.
- 3 - Ahmad, J. and Hansen R. S. (1972). "A simple quantitative treatment of the spreading of monolayers on thin liquid films." *J. Colloid Interface Sci.* Vol. 38, PP. 601-604.
- 4 - Bird, R. B., Stewart, W. E. and Lightfoot, E. N. *Transport Phenomena*, Wiley International Edition .
- 5 - Dagan, Z. (1984). "Spreading of films of adsorption on a liquid surface." *Phys. Chem. Hydron.* Vol. 5, PP. 43-51.
- 6 - Fay, J. A. (1969). "The spread of oil slicks on a calm sea." In *Oil on The Sea*; D.P. Hoult Ed.; Plenum: New York , PP. 53-63.
- 7 - Foda, M. and Cox, R. G. (1980). "The spreading of thin liquid films on a water-air interface." *J. Fluid Mech.* Vol. 101, PP. 33-51.
- 8 - Fraaije, J. G. E. M. and Cazabat, A. M. (1989). "Dynamics of spreading on a liquid substrate." *J. Colloid Interface Sci.* Vol. 133, PP. 452-460.
- 9 - Gaver, D. P. and Grotberg, J. B. (1990). "The dynamics of a localized surfactant on a thin film." *J. Fluid Mech.* Vol. 213, PP. 127-148.
- 10 - Harkins, W. D. (1952). *The physical chemistry of surface films*. Reinhold: New York.
- 11 - Hoult, D. P. (1972). "Oil spreading on the sea." *Ann. Rev. Fluid Mech.* Vol. 4, PP. 341.
- 12 - Joos, P. and Pintens, J. (1977). "Spreading kinetics of liquids on liquids." *J. Colloid Interface Sci.* 60, PP. 507-513.
- 13 - Suciu, D. J., Smigelschi, O. and Ruckenstein, E. (1970) "A steady dissolving drop method for studying the pure marangoni effect." *Chem. Eng. Sci.* Vol. 25, PP. 1249- 1254.
- 14 - Suciu, D. G., Smigelschi, O. and Ruckenstein, E. (1969). "On the structure of dissolving thin liquid films." *AICHE*. Vol. 15, PP. 686-689

واژه نامه :

- 1 - Lubrication Theory
 2- Order of Magnitude
- تئوری روان کنندگی
 مرتبه مقداری